文章编号: 1674 - 7054(2016) 02 - 0246 - 07

## 木薯地毯草黄单胞菌转化子 T-DNA 插入模式分析

### 张长正12 刘进平1 时 涛2 李超萍2 陈奕鹏2 黄贵修2

(1. 海南大学 农学院 海口 570228; 2. 中国热带农业科学院 环境与植物保护研究所,海口 571101)

摘 要: 随机挑取 30 个已构建的木薯地毯草黄单胞菌(  $Xanthomonas\ axonopodis\ pv.\ manihotis$ ) Tn5 转化子,利用 hiTail – PCR 技术获得 Tn5 转座子插入位点的侧翼序列 64 条。其中,有 19 个转化子获得了插入位点左右两端的侧翼序列,11 个转化子获得了单侧侧翼序列。序列分析结果发现,插入位点集中在低 GC 含量区,特别是 49% ~50% 的区域; Tn5 转座子倾向于插入基因编码区内; Tn5 转座子的插入会形成 9 bp 正向重复序列,且插入方向没有偏好性 9 bp 正向重复序列的上下游碱基位点中,-5,-2 1 4 5 6 9 11 位可能对转座酶的识别起关键作用。

关键词: 木薯;细菌性枯萎病菌;T-DNA 插入模式

中图分类号: S 435.33 文献标志码: A DOI: 10.15886/j. enki. rdswxb. 2016.02.018

木薯(  $Manihot\ esculenta$ ) 起源于热带美洲地区 [1] 具有高产、易栽培、耐旱、耐贫瘠等特点,目前广泛种植于亚洲、非洲和拉丁美洲的  $100\$ 多个国家和地区 [2]。木薯在我国的种植历史接近两百年,主要用作工业原料生产淀粉、酒精等产品 [3]。我国  $2014\$ 年木薯种植面积约  $39.27\$ 万  $hm^2$  ,但是仍不能满足自给 是世界第 1 大木薯进口国 [4-6]。由地毯草黄单胞木薯蒌蔫致病变种(  $Xanthomonas\ axonopodis\$ pv.  $manihotis\$ , Xam) 引起的细菌性枯萎病可造成  $12\%\sim100\%$  的产量损失 [7],是世界范围内木薯生产中的重要病害,也是我国木薯第 1 大病害 [8]。国外完成了  $65\$ 个 100% 的产量损失 [7],是世界范围内木薯生产中的重要病害,也是我国木薯第 1 大病害 [8]。国外完成了 100% 的产量损失 [7],是世界范围内木薯生产中的重要病害,也是我国木薯第 1 大病害 [8]。国外完成了 100% 的产量损失 [13],从证明病菌质粒上的 100% 不知,并证明病菌质粒上的 100% 不知,并证明病菌质粒上的 100% 不知,并不是 100% 不知,并证明病菌质粒上的 100% 不知,并不是 100% 不知,并证明病菌质粒上的 100% 不知,并证明病菌的致病性相关 100% 不知,是 100% 不可以,是 100%

#### 1 材料与方法

1.1 试验材料 (1) 供试菌株: 供试转化子 30 个 编号见表 1。(2) 试剂和培养基: Xam 病菌转化子和大肠杆菌使用的培养基分别为 YPG ,LB ,SOC 等培养基 ,制备方法参照文献 [15]。 Taq 酶、dNTP 和大肠杆菌感受态细胞  $DH5\alpha$  购自天根生化科技( 北京) 有限公司; X-gal ,IPTG ,pMD18-T 载体和 DNA 片段胶回收试剂盒购自宝生物工程( 大连) 有限公司; 引物由北京六合华大基因科技股份有限公司合成; 其他试剂均为国产分析纯。

收稿日期: 2016-02-25

基金项目: 国家木薯现代产业技术体系建设项目( CARS - 12 - hnhgx); 2014 年海南省研究生创新科研课题

( Hys2014 - 04)

作者简介: 张长正(1991 – ) 男 海南大学农学院 2013 级硕士研究生. E-mail: djzcz@ outlook. com 通信作者: 黄贵修(1968 – ) 男 研究员. 研究方向: 植物病理学. E-mail: hgxiu@ vip. 163. com

- 1.2 转化子 DNA 的提取 各转化子活化后 参照文献 [16]的方法提取基因组 DNA。
- 1.3 转化子插入位点侧翼序列的分离 采用 hiTail-PCR 进行转化子插入位点 ,侧翼序列的分离。参照 文献 [13]和文献 [17]的方法 ,合成简并引物 LAD1-4 ,LAD1-2 ,LAD1-3 ,LAD1-4 ,通用引物 AC1 ,特异性引物 SP1 ,SP3 ,SPF1 ,SPF3。根据 T-DNA 片段序列和简并引物 (LAD1-1 ~ LAD1-4) 5 / 端部分序列设计特异性引物 LSP2 (ACGATGGACTCCAGTCCGG CCAAGACGTTTCCCGTTGAATATG) 和 LSPF2 (ACGATGGACTC-CAGTCCGGCCCACCTACAACAA AGC TCTCATCAACC) 2 条特异引物。预扩增、第 1 轮扩增和第 2 轮扩增的 反应体系和参数参照文献 [17]。扩增产物纯化回收后连接 T 载体并转化大肠杆菌 ,各条带分别选择 3 个阳性转化子进行测序确认。采用 Blast 程序将所获序列和 pMD18-T 载体、Tn5 转座子插入片段序列进行比对 获得插入位点侧翼序列。
- 1.4 转化子 T-DNA 插入模式分析 参考文献 [18]的方法分析其序列同源性、明确各转化子的插入位点。比较转座子插入片段上 Kan 基因和插入位点预测的读码框,明确该位点的插入方向。提取插入位点上下游各 0.5~kb 的基因组序列,分析其 GC 含量。根据插入位点基因预测结果分析编码基因的保守区,明确 T-DNA 片段的插入区域。对于同时获得两侧侧翼序列的转化子,分析转化子的识别位点。提取识别位点上下游各 18~nt 的序列,分析各位点的 GC 含量并与基因组序列进行比较。

#### 2 结果与分析

2.1 转化子插入位点侧翼序列的分离 经过3轮扩增反应 30个转化子都获得了1个以上扩增产物条带 其中共有19个转化子 Tn5 转座子插入两侧方向都获得了条带 11个转化子单侧方向获得了条带。共49个方向的序列中 经常出现单个插入方向出现多个产物条带的现象(图1),有37个插入方向获得了1个产物条带 8个插入方向获得了2个产物条带 4个插入方向获得了3个产物条带。共计65个产物条带。回收测序。

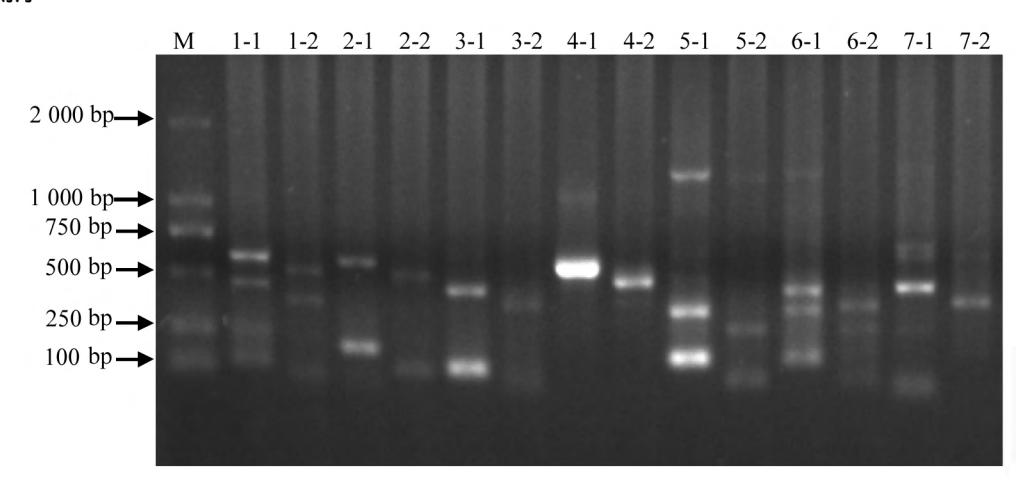


图 1 部分转化子 hiTail-PCR 的第 1 轮和第 2 轮扩增产物电泳检测

M: DL2000; 1-4 2-4 3-4 4-4 5-4 ,6-1 ,7-1: 分别是转化子 GX11-6945 ,GX11-107 ,GX11-6319 ,GX11-8261 ,GX11-6388 ,GX11-6395 ,GX11-6348 的 hiTail-PCR 第 1 轮扩增产物; 1-2 2-2 3-2 4-2 5-2 6-2 ,7-2: hiTail-PCR 第 2 轮扩增产物。

Fig. 1 Electrophoresis analysis of the first and second hiTail-PCR products of transformants

M: DL2000; 1-1 2-1 3-1  $\beta$ -1 5-1  $\beta$ -1 7-1: The primary hiTail-PCR products of transformants GX11-6945 , GX11-107 , GX11-6319 , GX11-8261 , GX11-6388 , GX11-6395 , GX11-6348; 1-2 2-2 3-2  $\beta$ -2 5-2  $\beta$ -2 7-2: The secondary hiTail-PCR products of transformants

测序结果的长度在  $150 \sim 1~200~\mathrm{bp}$  之间 将测序结果与 GX11 基因组序列进行比对分析 共获得  $39~\mathrm{C}$  T-DNA 插入位点左侧侧翼序列  $25~\mathrm{C}$  个右侧侧翼序列 ,且同源性均高于 96% 。 有  $3~\mathrm{C}$  个测序结果发现为空载体 ,有  $1~\mathrm{C}$  个测序结果在 GX11 基因组序列中没有比对到同源序列。最终结果统计, $19~\mathrm{C}$  个转化子成功获得

了两侧侧翼序列 ,10 个转化子获得了单侧侧翼序列 ,1 个转化子的侧翼序列在基因组序列中未比对到同源序列。分析比对结果发现 ,单侧插入方向出现 2~3 条产物条带的时候 ,均为同样的插入位置 ,可能是简并引物( LAD1-4 ~ LAD1-4) 在基因组序列上有多个结合位点所致。

2.2 Xam 转化子 T-DNA 侧翼序列分析 有研究表明 Tn5 转座子的插入与插入位点的 GC 含量有 关  $^{[18]}$ 。分析插入位点上下游各 500 bp 碱基的 GC 含量(表 1) 结果显示 插入位点在 GC 含量为 49% ~ 50% 的区域最多 占 34.48%  $^{\circ}$  GC 含量低于 47% 的区域占 13.79%  $^{\circ}$  GC 含量为 47% ~ 48% 的区域占 10.34%  $^{\circ}$  GC 含量为 48% ~ 49% 的区域占 20.69%  $^{\circ}$  GC 含量为 50% ~ 51% 的区域占 13.79%  $^{\circ}$  GC 含量高于 51% 的区域占 6.90%。

本实验定位的 29 个转化子插入位点中,有 24 个转化子的插入位点在不同预测基因的编码区,占所有已知插入位点转化子的 82.8% 。这说明 Tn5 转座子的插入位点可能更偏向于编码区。GX11-6388,GX11-6388,GX11-6388,GX11-6388,GX11-7301 和 GX11-6401 的插入位点都是不同预测基因的起始密码子前 24 ~ 160 bp 处,可能是插入在启动子区域。GX11-7622 插入位点是预测基因 XANwfvDGL000109 和 XANwfvDGL000110 终止密码子之间。

表 1 29 个 hiTail-PCR 扩增的侧翼序列在细菌性枯萎病菌株 GX11 基因组上的位置

Tab. 1 Locations of 29 flanking sequences in genome of Xanthomonas axonopodis pv. Manihotix

转化子 Transformants	同源性(上游/ 下游) Identity (Upstream/ downstream)	插入方向 Orientation of insertion	插入位点 GC含量GC content of insertion site	预测基因功能 Prediction of gene function	插入位置 Location of insert
GX11-6945	99% /96%	反向 ( Reverse)	48.60%	烷基氢化过氧化酶 Alkylhydroperoxidase	编码区烷基氢化过氧化酶 Ah-pD 家族保守结构域 Alkylhydroperoxidase AhpD fam- ily core domain
GX11-1796	98% /99%	反向 ( Reverse)	48.70%	硝酸盐转运底物结合蛋白 Nitrate ABC transporter sub- strate-binding protein	编码区 Coding region
GX11-7622	99% /100%	同向 ( Forward)	45.30%	乙基叔丁基醚降解蛋白质 EthD Ethyl tert-butyl ether degradation protein EthD	预测基因 XANwfvDGL000109 和 XANwfvDGL000110 之间 Between the predicted genes XANwfvDGL000109 and XANw- fvDGL000110
GX11-7408	99% /100%	同向 ( Forward)	50.90%	庚二酰[酰基载体蛋白]甲 基酯酯酶 Pimeloyl-[acyl-carrier pro- tein] methyl ester esterase	编码区硫酯酶结构域 Thioesterase domain
GX11-8291	100% /96%	同向 ( Forward)	49.30%	未知蛋白 Hypothetical protein	编码区 Coding region
GX11-1107	100% /99%	同向 ( Forward)	49.20%	核糖核酸外切酶 RRibonuclease R	编码区核糖体类 S1 RNA 结合蛋白结构域 S1 RNA binding domain
GX11-6319	97% /100%	反向 ( Reverse)	49.70%	未知蛋白 Hypothetical protein	编码区类 SCP 细胞外蛋白结 构域 SCP-like extracellular protein
GX11-8261	99% /99%	反向 ( Reverse)	49.80%	II 型分泌系统蛋白 GSPD Type II secretion system pro- tein GspD	domain 编码区细菌Ⅱ型和Ⅲ型分泌系 统蛋白结构域 Bacterial type II/III secretion system short domain

续表 1 Continued Tab. 1

转化子 Transformants	同源性(上游/ 下游) Identity (Upstream/ downstream)	插入方向 Orientation of insertion	插入位点 GC含量GC content of insertion site	预测基因功能 Prediction of gene function	插入位置 Location of insert
GX11-6358	100% /100%	同向 ( Forward)	47.60%	葡萄糖磷酸胸苷酰转移酶 Glucose – 1 – phosphate thy- midylyltransferase	编码区葡萄糖磷酸胸苷酰转移 酶结构域 Glucose – 1 – phos- phate thymidylyltransferase do- main
GX11-9607	99% /100%	同向 ( Forward)	47.40%	乙酰鸟氨酸氨甲酰转移酶 Scetylornithine carbamoyl- transferase	编码区 ASP/ORN 结合结构域 ASP/ORN binding domain
GX11 <del>-9</del> 951	100% /100%	同向 ( Forward)	51.00%	磷酸烯醇丙酮酸合酶 Phosphoenolpyruvate syn- thase	编码区磷酸烯醇丙酮酸合酶结构域 Phosphoenolpyruvate syn- thase domain
GX11 - 6202	98% /100%	反向 ( Reverse)	48.80%	亚硝酸还原酶 Nitrite reductase large sub- unit	编码区吡啶二硫核苷酸氧化还原酶结构域 Pyridine nucleotide - disulphide oxidoreductase do- main
-GX11-2709	98% /100%	同向 ( Forward)	49.10%	烟酸核苷酸腺苷转移酶 Nicotinamide nucleotide adenylyltransferase	编码区烟酸核苷 酸腺苷转移 酶结构域 Nicotinamide nucleo- tide adenylyltransferase domain
GX11-6388	99% /99%	同向 ( Forward)	49.10%	核糖体沉默因子 RsfS Ribosome silencing factor	起始密码子前 160 bp 160 bp before initiation codon
GX11-6355	100% /100%	反向 ( Reverse)	50.60%	RsfS 胱硫醚 β-合酶 Cystathionine beta-synthase	编码区半胱氨酸合成酶 A 结 构域 Cysteine synthase A do- main
GX11-8282	99% /100%	反向 ( Reverse)	45.90%	胱硫醚 β-裂解酶 Cystathionine beta-lyase	编码区胱硫醚 β-裂解酶结构 域 Cystathionine beta-lyase do- main
GX11-6395	96% /100%	反向 ( Reverse)	50.40%	接合转移蛋白 TraJ Conjugal transfer pro- tein TraJ	编码区 IV 型分泌系统 Vir8 蛋白结构域 Type IV secretion system protein VirB8 domain
GX11 <i>-</i> 9341	100% /100%	同向 ( Forward)	47.90%	未知蛋白 Hypothetical protein	编码区 Coding region
GX11-6348	100% /96%	反向 ( Reverse)	48.50%	未知蛋白 Hypothetical protein	起始密码子前 24 bp 24 bp before initiation codon
GX11-8227	100%		45.10%	转座酶 Transposase	编码区 Coding region
GX11-8201	99%		48.20%	未知蛋白 Hypothetical protein	编码区 Coding region
GX11-4301	99%		49.40%	NmrA 家族蛋白 NmrA family protein	编码区 Coding region
GX11-6801	99%		48.10%	未知蛋白 Hypothetical protein	编码区 Coding region
GX11-7301	98%		43.70%	未知蛋白 Hypothetical protein	起始密码子前 48 bp 48 bp before initiation codon
GX11-8101	99%		53.40%	纤维素酶 Cellulase	编码区纤维素酶结构域 Cellulase domain
GX11-7812	100%		49.90%	未知蛋白 Hypothetical protein	编码区 Coding region

续表 1 Co	ontinued	Tab.	1
---------	----------	------	---

转化子 Transformants	同源性(上游/ 下游) Identity (Upstream/ downstream)	插入方向 Orientation of insertion	插入位点 GC含量 GC content of insertion site	预测基因功能 Prediction of gene function	插入位置 Location of insert
GX11-1801	99%		49.30%	IV 型分泌系统 VirB4 Type IV secretion system protein VirB4	编码区 IV 型分泌系统 ATP 酶 VirB4 结构域 Type IV secretion system protein VirB4 domain
GX11-8301	100%		51.80%	未知蛋白 Hypothetical protein	编码区 Coding region
GX11-6401	99%		50.00%	未知蛋白 Hypothetical protein	起始密码子前 111 bp 111 bp before initiation codon

将 29 个转化子中 Tn5 转座子插入位点所在的基因在 NCBI 进行 BLAST 比对 ,有 19 个基因已知预测功能 ,10 个基因为未知蛋白。将 29 个基因编码蛋白进行 BLASTp 比对后发现 24 个插入位点在预测基因编码区的转化子中 ,有 15 个转座子插入在基因的保守结构域内。

为研究 Tn5 转座子的插入方向与插入基因方向有无相关性,对 19 个获得两侧侧翼序列的转化子进行分析,有 10 个为同向插入 9 个为反向插入,所以两者没有明显关系。

表 2 19 个转化子形成的 9 bp 正向重复序列及其上下游 18 bp 碱基

 $Tab.\,2\quad The\,9\ bp\ repetitive\ sequences\ and\ its\ upstream\ and\ downstream\ 18\ bp\ bases\ of\ 19\ transformants$ 

转化子	上游-18 bp 序列	9 bp 重复序列	下游 18 bp 序列
Transformants	18 bp upstream sequence	9 bp repeat sequence	18 bp downstream sequence
GX11-6945	CAGCTATCACGTGGCTCA	GTGCAAGGA	AGCCGGCGTGAGCCGGGA
GX11-1107	GTGCATGTCACGCAGCTG	CCGCAGGAC	TATTACCAGTTCGATCCG
GX11-1796	AAAAATTCCGCAAGGACA	ATCCCAAGA	CCTACCGCGCGTTTGTCG
GX11-6319	ACATCCGTCGGCTGCACG	GTCTGGAGG	CGGTCGACGACGACCCGG
GX11-7408	GGGCGGGCTGTTTGCGTT	GCATGCGGC	CGCCACCCTGCCGCAGGT
GX11-8261	AGACACAGAATACGGATC	GTCGTGAGG	TTATTGTCCTTATCACGC
GX11-2709	TGCCGCCCCGGTGGCCG	GAATGATCC	AGCGCGAAGGCCTGTACC
GX11-9607	GCCCGACGCCGGACTACA	TCCTGGATC	AGCGCTACATGGACTGGG
GX11-9341	GCCGCTGCGCGTTCGTCT	GTCCAAGGG	GCACCAGGCGCGTAACAA
GX11-8291	AGGCATCGCCCATGCTGG	TGCTGGAAC	TGGACCGCAGCGGCCTGC
GX11-6395	GTTGAGATTGTCAGCGTT	GTTCCTAAT	GGCGATGGCGTCGGCACG
GX11-7622	GCATGCGCCGCGCGCCCA	ATCCACCGA	CGCCGGCCATCGGGATCC
GX11-8282	GCGTGCGGATTTGGAGCG	GGCGCTGGG	TGAGGGGACTCGCTAATC
GX11-6355	CGCAGCAGAAGGGCTACC	AGCTGATCC	TGGTGGTTCCGGACAAGA
GX11-9951	CCTGTGGTTGCATGAGCT	ACGCCTGGC	CGACCTGGCCCGCGTAGG
GX11-6388	GGTACAGGCCTTCGCGCT	GGATCATTC	CGGCCACCGGGGGGCGCA
GX11-6358	AGCCGCTGGGACGCGGGT	ATGCATGGC	TGGATACCGGAACGCACC
GX11-6348	AAAGAGATGCATGCTGCA	GGATACGAG	GTCTCTACAGAACAAGCG
GX11-6202	ATCGCGATATCCAGGACA	CGCGCACCA	TGATCGATACCGCGCGTA

#### 3 讨论

笔者采用 hiTail-PCR 对 30 个转化子的 Tn5 转座子插入位点侧翼序列进行分析,从而对 Tn5 转座子的插入模式进行初步分析。对获得的 19 个转化子两侧侧翼序列和 10 个转化子的单侧侧翼序列进行分析统计后发现,Tn5 转座子倾向于插入低 GC 含量区,当 GC 含量为 49%~50% 时插入数最多。笔者获得的 19 个转化子的两侧侧翼序列经过分析后均发现产生了 9 bp 的正向重复序列的情况。而且 没有发现转座子的插入方向具有偏好性。29 个转化子中,有 24 个插入位点是在预测基因的编码区内,说明转座子的插入可能偏向于插入编码区。对研究实验结果进行统计分析发现 9 bp 正向重复序列的上游-18 bp 和下游 18 bp 碱基的-5 元 1 4 5 6 9 11 位可能与转座酶的结合具有相关性。孙其红[19] 构建了水稻白叶枯病菌的 Tn5 突变体库,分析其插入模式发现,在 Tn5 转座的过程中,会在插入位点产生 9 bp 的正向重复序列,这与本实验结果相同。唐江涛<sup>[18]</sup>通过 Tn5 gus A ( Tn5 gus A 和 Tn5 具有相同的转座机理和转座热点) 构建野油菜黄单胞菌的突变体库,并通过生物信息学的方法分析其插入规律,发现 Tn5 gus A5 倾向于低 GC 含量区域,在 GC 含量为 50% 左右时插入密度最高,而且插入位点的把序列也有一定的特异性,本研究中 GC含量为 49%~50% 的区域的插入密度最高,与其结果相符。唐江涛研究<sup>[18]</sup>也发现,在 9 bp 正向重复序列的上下游 18 bp 碱基的-5 元 1 4 5 6 9 11 14 位碱基与转座酶的结合相关。本研究结果为更好地利用 tn5 转座子进行病原细菌致病分子机理研究提供了依据。

#### 参考文献:

- [1] 黄洁,周建国. 木薯间套作与高效利用技术[M]. 海口:海南出版社 2015.
- [2] 贾晶霞,李雷霞. 世界及中国木薯生产概况[J]. 农业工程 2015(5):124-126,129.
- [3] 陈丽珍,叶剑秋. 我国木薯加工业的发展现状与展望[J]. 园艺与种苗 2011(3):87-90.
- [4] 盘欢. 亚洲 11 国木薯生产概况 [J]. 广西热带农业 2009(5):29-31.
- [5] 农业部发展南亚热带作物办公室. 2014 年 12 月热作产品市场动态 [EB/OL]. http://www.troagri.com.cn/Articles.php? url = BTwKZQFuVz5VaFBhAGdRZQ%3D%3D,2015 01 16.
- [6] 国务院. 可再生能源中长期发展规划[R],2007.
- [7] Lozano J C, Booth R H. Disease of cassava (Manihot esculenta Crantz) [J]. Pans, 1974(20): 30-54.
- [8] 李超萍 , 时涛 , 刘先宝 , 等. 国内木薯病害普查及细菌性萎蔫病安全性评估 [J]. 热带作物学报 2011(1):116-121.
- [9] Rebecca Bart, Megan Cohn, Andrew Kassen, et al. High-throughput genomic sequencing of cassava bacterial blight strains identifies conserved effectors to target for durable resistance [J]. Proceedings of the National Academy of sciences of the United States of America 2012, 109(28): 1972 1979
- [10] Mario L Arrieta-Ortiz, Luis M Rodr´guez-R, A´ Ivaro L. Pe´ rez-QuinteroMireille Harimalala, et al. Genomic survey of pathogenicity determinants and VNTR markers in the cassava bacterial pathogen Xanthomonas axonopodis pv. Manihotis strain CIO151 [J]. PLOS ONE, 2013, 8(11): e79704.
- [11] Stéphanie Bolot, Alejandra Munoz Bodnar, Sébastien Cunna, et al. Draft Genome sequence of the *Xanthomonas* cassavae type strain CFBP 4642 [J]. Genome, 2013, 1(4): e00679 13.
- [12] Castiblanco L F, Gil J, Rojas A, et al. TALE1 from *Xanthomonas axonopodis* pv. *manihotis* acts as a transcriptional activator in plant cells and is important for pathogenicity in cassava plants [J]. Molecular Plant Pathology, 2013, 14(1):84-95.
- [13] 陈江莎. 木薯地毯草黄单胞菌 Tn5 转座子插入突变体库的建立及其分子分析[D]. 海口: 海南大学 2013.
- [14] 时涛,李超萍,刘先宝,等. 木薯细菌性枯萎病菌 htpG 基因突变体的获得[J]. 热带作物学报 2013(6):1139 1143.
- [15] 方中达. 植病研究方法[M]. 3 版. 北京: 中国农业出版社 ,1998.
- [16] 丁小云, 耿俊丽, 魏成熙. 不同破壁方法对大肠杆菌 DNA 提取的影响[J]. 贵州农业科学 2010(4):149-150.
- [17] Liu Y G. ,Chen Y. High-efficiency thermal asymmetric interlaced PCR for amplification of unknown flanking sequences [J]. BioTechniques , 2007 , 43(5): 649 656.

- [18] 唐江涛. 细菌转座子 Tn5gusA5 在野油菜黄单胞菌 8004 中转座规律分析及生物学验证[D]. 南宁: 广西大学, 2003.
- [19] 孙其红. 水稻白叶枯菌(Xanthomonas oryzae pv. oryzae) 致病性的功能基因组学分析 [D]. 北京: 中国科学院微生物研究所, 2004.

# T-DNA Insertion Patterns for the Genome of *Xanthomonas* axonopodis pv. manihotis Transformants

ZHANG Changzheng<sup>1 2</sup>, LIU Jinping<sup>1</sup>, SHI Tao<sup>2</sup>, LI Chaoping<sup>2</sup>, CHEN Yipeng<sup>2</sup>, HUANG Guixiu<sup>2</sup>
(1. College of Agronomy, Hainan University, Haikou, Hainan 570228; 2. Environment and Plant Protection Institute,

CATAS, Haikou, Hainan 571101, China)

**Abstract**: Using high-efficiency thermal asymmetric interlaced PCR (hiTAIL-PCR), 64 specific fragments of *Xanthomonas axonopodis* pv. *Manihotis* (Xam) genomic DNA flanked on the T-DNA were successfully amplified from 30 randomly-picked Xam transformants. Nineteen transformants had fragments flanked on both borders of T-DNA, and 11 contained fragments flanked on the left border of T-DNA. Analysis showed that the insertion sites were mainly found in the area with low GC content, especially the area with the GC content ranging between 49%-50%; Tn5 transposon tended to be inserted into coding region; Tn5 transposon insertion formed a 9 bp direct repetitive sequence and had no preference in orientation. Among the upstream and downstream of the 9 bp direct repetitive sequence, the sites of -5, -2, 1, 4, 5, 6, 9, and 11 might play a key role in the transposase recognition.

**Keywords**: *Manihot esculenta*; bacterial blight; T-DNA insertion pattern